

## 전기이중층 캐패시터용 고밀도 활성탄소섬유 전극의 제조

최영옥, 김종희\*, 양갑승

전남대학교 응용화학공학부, \*한국에너지 기술연구원

### Preparation of Densified ACFs for Electrodes of Electrical Double Layer Capacitor

Young Ok CHOI, Jong Huy Kim\*, Kap Seung YANG

Faculty of Applied Chemistry, Chonnam National Univ., Kwangju, Korea,

\*Korea Institute of Energy Research, Yusong, Taejon, Korea

#### 1. 서론

탄소재료는 높은 전기전도도 및 기계적 강도, 화학적 안정성, 큰 비표면적( $1000\sim3000\text{ m}^2/\text{g}$ ) 등의 특성 때문에 연료전지, 리튬이온 이차전지, 전기이중층 캐패시터(electric double layer capacitor, EDLC)의 전극 활물질로 주목받고 있다[1]. 일반적으로 활성탄소섬유는  $1000\sim3000\text{ m}^2/\text{g}$ 의 비표면적을 갖기 때문에 종래의 필름 콘덴서와 세라믹 콘덴서에 비해 비약적인 고용량(체적당 수천 배, Farad급)을 얻을 수 있다. 전기이중층 캐패시터는 수명이 반영구적이며 사용온도의 범위가 넓고 안전하다는 장점을 지니고 있으며 이러한 캐패시터의 성능은 전극으로 사용되는 활성탄소 섬유의 비표면적, 세공의 크기, 구조 및 형태, 표면의 관능기 및 전기 전도도 등의 특성에 크게 좌우된다[1-3].

본 연구에서는 석탄계 등방성 퍽치로부터 방사를 통해 섬유를 제조한 후, 안정화(불용화), 고밀도화, 탄화 및 활성화를 통해 고밀도화된 활성탄소섬유를 제조하였다. 이를 전기이중층 캐패시터 전극으로 이용하여 그의 특성을 살펴보았다.

#### 2. 실험

석탄계 고연화점의 등방성 퍽치(Osaka Gas Chemicals Co., Japan, 연화점  $312^\circ\text{C}$ )로부터 용융방사, 산화 안정화, 고밀도화하고, 이를 탄화한 후 여러 조건에서 수증기에 의한 활성화를 통해 고밀도 활성탄소 섬유(DACF)를 제조하였다. 여러 가지 분석장치(NMR, FT-IR, XRD, SEM 등)를 통해 프리커서 퍽치 및 각각의 공정에서 제조된 시료들에 대해 분석하였으며 DACF의 표면 특성은  $77.4\text{K}$ 에서 질소 등온 흡착을 통해 살펴보았다. 제조된 DACF 전극의 충방전 특성은 두 개의 DACF 전극, 분리막, 전해질(7.5 몰의 KOH 수용액)로 단위 셀(Fig. 1)을 구성하여 EDLC 특성을 살펴보았다.

#### 3. 결과 및 고찰

용융방사를 통해 얻은 섬유를 안정화 한 후 고밀도화 장치(Fig. 2)를 통해 바인더를 사용하지 않고 0.4-1.2 g/cc의 밀도를 지니는 디스크를 제조하였고 이를 탄화 및 수증기에 의한 활성화하여 EDLC 전극용 DACF를 제조하였다. Figs. 2와 3은 각각 사용된 고밀도화에 의한 디스크 성형장치와 디스크의 압력에 따른 충진밀도의 변화를 나타내며 압력이 증가함에 따라 디스크의 밀도가 증가함을 알 수 있다.

고밀도화된 탄소섬유 디스크(DCF)는 원형의 섬유 형태를 그대로 지니고 있으며, 구성 섬유들 사이의 균일한 공간은 활성화시 산화가스로 사용되는 수증기/질소 혼합기체가 이동하는데 충분한 것으로 여겨진다(Fig. 4).

Fig. 5는 DACF 전극의 burn-off에 따른 BET 비표면적과 평균 기공의 크기를 나타낸다. 일반적으로 비표면적과 pore volume은 burn-off의 증가에 따라 증가함을 알 수 있다.

고밀도화를 하지 않은 섬유의 경우 전기전도도는 탄화한 시료의 경우  $220\text{ S/cm}$ 이나 활성화에 의해 1/7 정도로 감소하며, DACF의 경우는 디스크를 구성하는 섬유들 사이의 접촉 저항에 의해  $23\text{ S/cm}$  값

으로 감소하나 이는 전극으로 용융하기에 충분히 큰 값으로 여겨진다(Table 1).

**Table 1.** The electric conductivities of the samples prepared from coal tar based pitch

Sample	Conductivity (S/cm)
CF (Fiber form)	$2.2 \times 10^2$
ACF (Fiber form)	$3.2 \times 10^3$
DACF (Disc form)	$2.3 \times 10^3$

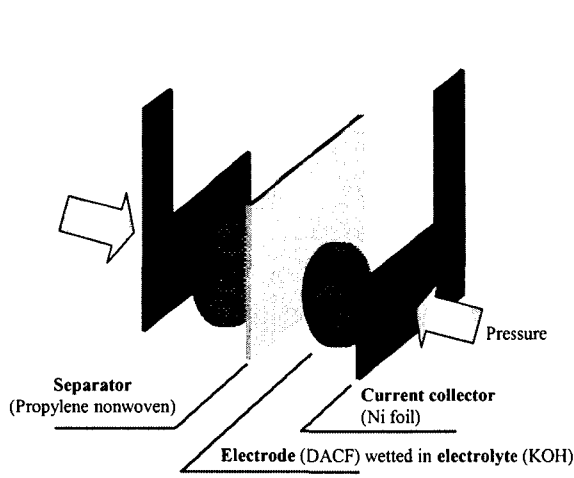
Fig. 1과 같이 구성된 단위 셀의 충방전을 통해 EDLC의 용량을 계산하여 방전전류밀도에 따른 단위 셀의 단위 중량당 정전용량(F/g) (Fig. 6) 및 단위 부피당 정전용량(F/cm<sup>3</sup>) (Fig. 7)을 나타내었다. 정전용량은 각각 90-150 F/g 및 22-29 F/cm<sup>3</sup>을 보이며 48%의 burnoff를 지닌 DACF로 구성된 단위셀이 가장 큰 용량을 나타내며 이는 표면적의 증가에 의한 전기이중층의 넓어짐에 기인한다. 단위 체적당 용량은 20%, 48%, 30%, 24% burnoff를 지닌 DACF로 구성된 단위셀 순으로 증가됨을 알 수 있으며 이는 비록 낮은 비표면적을 지녔지만 높은 밀도를 지닐수록 높은 체적당 용량을 발현할 수 있음을 제시한다.

#### 4. 결론

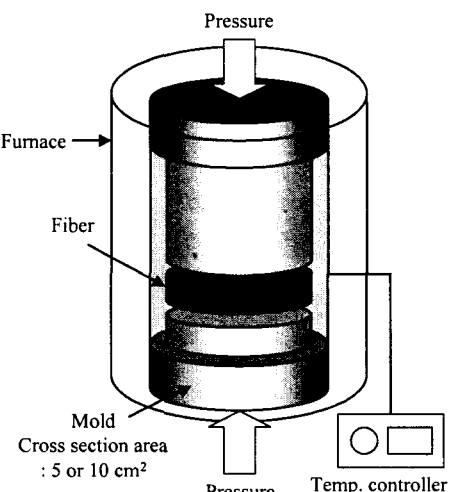
석탄계 등방성 프리커서 퍯치로부터 용융방사 및 안정화를 통해 안정화된 섬유를 제조 한 후, 고밀도화, 탄화 및 활성화를 통해 어떠한 바인더의 사용없이 높은 충진밀도(0.4-1.2 g/cc)를 지니는 전기이중층 캐퍼시터의 전극으로 사용될 수 있는 디스크를 제조하였다. 고밀도 디스크로 구성된 단위 셀의 용량은 90-150 F/g 및 22-29 F/cm<sup>3</sup>을 나타내었으며 효과적인 중기공의 증가를 통해 더 큰 용량의 발현시킬 수 있을 것으로 기대된다.

#### 참고문헌

1. K. Kinoshita and Xi. Chu, *The Electrochemical Society Proceedings*, **29**, 171-181 (1995).
2. I. Tanahashi, A. Yoshida and A. Nishino, *Carbon*, **28**(4), 477 (1990).
3. I. Tanahashi, A. Yoshida and A. Nishino, *Carbon*, **28**(5), 611 (1990).



**Fig.1.** Schematic representation of the EDLC unit cell.



**Fig. 2.** Sketch of densification apparatus.

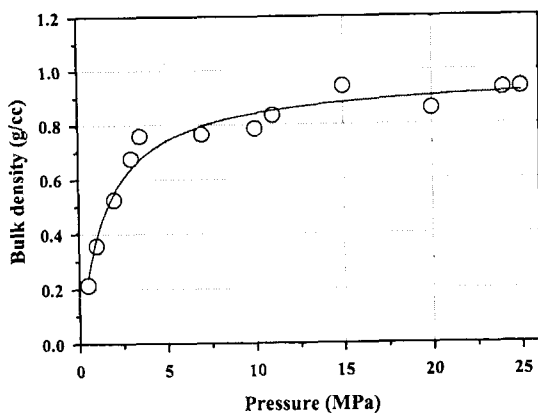


Fig. 3. Effect of pressure on the bulk density.

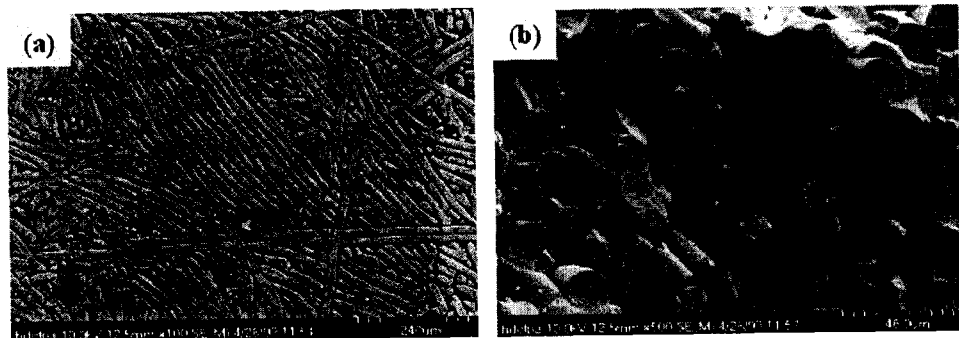


Fig. 4. SEM microphotographs of DCF pressed at 20 MPa, 400°C for 10 minutes; (a) surface, (b) cross section.

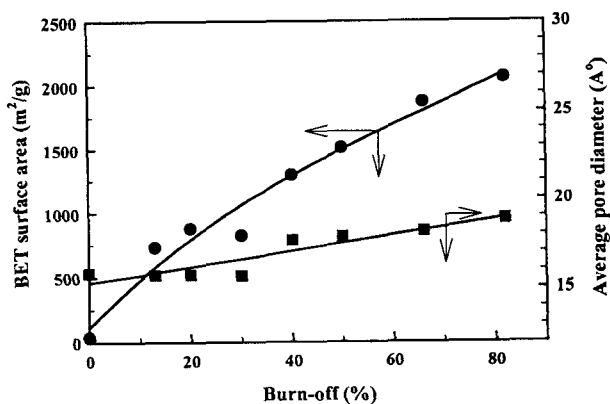


Fig. 5. BET surface area and average pore diameter of DACF as a function of burn-off %.

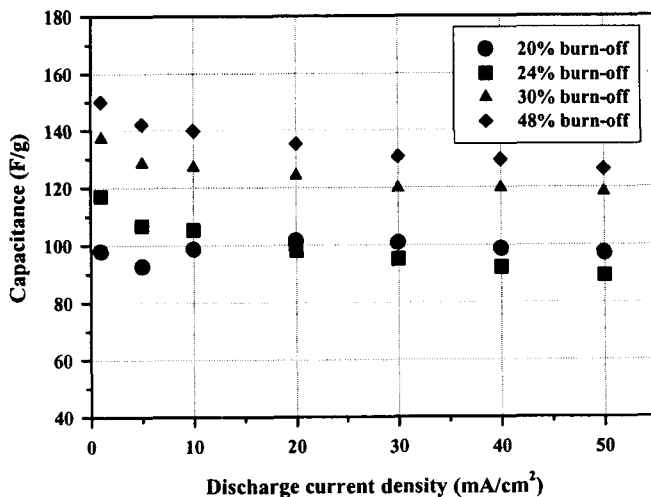


Fig. 6. Specific weight capacitance (F/g) dependencies on the discharge current density.

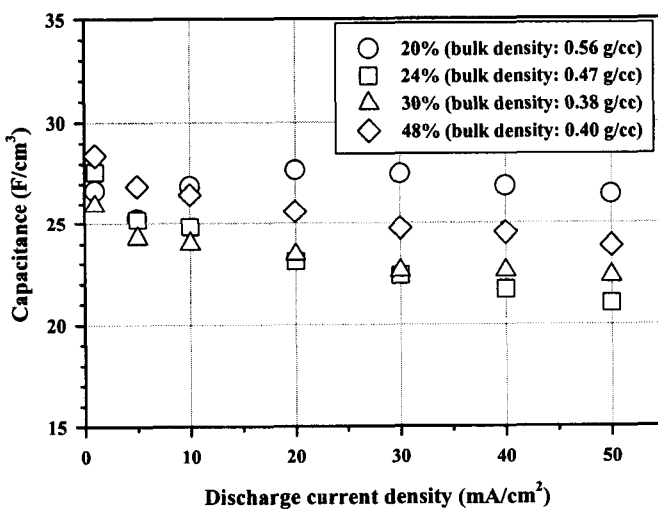


Fig. 7. Specific volume capacitance (F/cm<sup>3</sup>) dependencies on the discharge current density.